

鹿島大学工業短期大学部 正員 村上 仁之

1. まえがき： 港湾沿地を構成するといふ防波堤本来の機能を逸脱しないかぎり、水質汚染防止の観点に立てば、ある程度の透過波を許しても堤体を通じて港湾内外で海水交流が行われる透過性防波堤の採用は有効であろう。本研究では、最も単純な形状の單一壁の透過性防波堤を考え、波の反射・透過および海水交流特性について若干の実験と計算、実験結果に基づき考察を加えることとした。

2. 実験方法： 長さ14m、幅50cm、深さ25cmの1次元造波水槽の中央部に多孔性（透過性）を設置し、一走水深 $h = 10\text{cm}$ のときで実験が行われた。堤の空隙率 μ は0.103～0.524の範囲で4種類変えられた。港奥からの反射がない場合と港奥で波が反射する場合の2種類が本実験での対象となる。透過性の海水交流を調べるために、港内が一様濃度となるように食塩（約300ppm）を混和し静置した後、波による港内の導電率の変化を調べることとした。導電率計の設置位置は、堤より港内側25cm、設走深 $h = 20\text{cm}$ である。

3. 港奥からの反射波がない場合： (1) 透過および反射特性 図-1は透過率 T_r と空隙率 μ との関係で、図中の曲線は既述の理論による計算結果である。実験値と計算値を比較すると、两者はほぼ一致し、 μ が大きくなるほど T_r は増大する。一方、図-2の3種反射率 R_r は実験値が計算値よりも小さく、 $R_r = 1 - T_r$ で表された理論曲線は実験値よりも若干その値を大きく見積らようである。図-3は $\varepsilon = 1 - \frac{1}{R_r} - \frac{1}{T_r}$ で表された波のエネルギー透過率を示しており、空隙率が小さくなるにつれて波のエネルギー透過率が頭著となることがわかる。(2) 海水交流特性 図-4は港内濃度の時間的変化を示したもので、縦軸は初期濃度 C_0 と波が港内へ進入開始から t 時間の濃度 C_t との差を $C_0 - C_t$ で無次元化して示している。

図-4 港内の濃度の時間的変化

図-5は各空隙率について、波が港内へ進入開始後20波および35波までの濃度の平均値であり、 μ が小さくなるほど $\frac{C_0 - C_t}{C_0}$ の値は大きく、港内の濃度の減衰が頭著となり、海水交流が促進されることがわかる。また、空隙率 μ が一走の場合、波形勾配 H/L が大きくなるにつれて、海水の交流が促進されることが図-6からわかる。

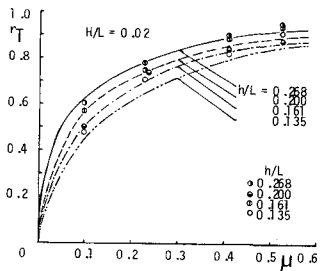
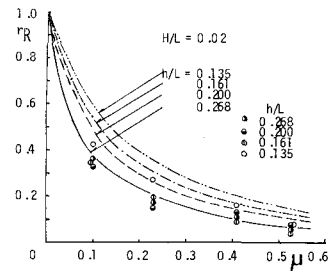
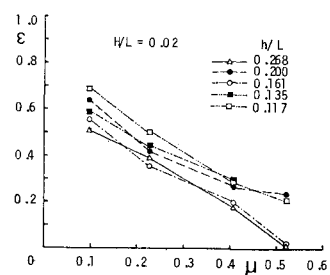
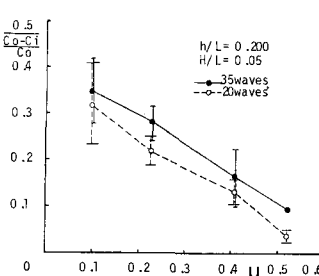
図-5 $\frac{C_0 - C_t}{C_0}$ と μ との関係図-1 T_r と μ との関係図-2 R_r と μ との関係図-3 ε と μ との関係

図-6 濃度特性に及ぼす波形勾配の影響

4. 湾奥からの反射波がある場合：(1) 透過堤前面の反射および港内波高特性

図-7は空隙率 $\mu=0.103$ の場合について港湾長 L の変化に伴う堤前面での反射率 R_f の変化を示したものである。図中の実線は榎本・岩田の理論による計算結果で、港湾長・波長比 $h/L = l/L$ ($l=L/n$, $n=0, 1, 2, \dots$) のとき R_f は最大値を示し、実験値にもこの傾向がみられる。また、 R_f の最小値については図-8でみられる値 ($\mu=0.103$, $h/L=0.135$ の理論的算) よりも小さく、逆に R_f の最大値についてはその値よりもかなり大きくなり、港湾長 (h/L) が堤前面の反射率に大きく影響することがわかる。図-8は h/L の変化に伴う港奥斜面壁面での波高 H_2 の変化を入射波高 H_1 で無次元化して示したものである。図中の曲線は前述の榎本らの理論による計算結果で、他の場合同様 $h/L = l/L$ のとき港奥の波高は最大値をとる。実験値と計算値を比較すると、最大値についてみれば計算値は実験値よりもかなり大きくなっているが、定性的には両者はほぼ一致しているといえる。このことは他の実験ケースで確認している。以上のことから、港外の反射率を小さく、かつ港内の波高を減ずるには $h/L = (2n+1)/4$ ($n=0, 1, 2, \dots$) とすればよい。(2) 海水交流特性 港内濃度の時間変化を示したもののが図-9である。ただし、 $l/L = 1.29$ とした港内波高が最小値に近い値となる場合である。この图でまとめて空隙率の相違による20波および35波までの港内の濃度の平均値を示したもののが図-10である。図から、 μ が小さくなるほど海水の交流は促進されるが、 μ があなた適以下になると港内外の海水交流が止まってしまう可能性も図は示唆している。図-11は $\mu=0.103$ の場合について h/L の変化に伴う港内の平均濃度の変化を調べたものである。港内の濃度は周期的に変化することからかがえ、 h/L が1.1および1.7のとき海水交流は悪く、 h/L が1.2および1.8のときそれはよいようであるが、港内波高との関連でみると、本実験の結果だけから最適な港長はつけがたい。以上のことをから、港内波高を抑制しても、水質汚染の立場からみると不合理的な場合ができるうじもあり、今後こうした両面から透過堤に関する研究が望まれる。

5. あとがき：港内の濃度については防波堤透壁の一地点での結果があり、海水交流の悪い港奥部についても今後さらに詳細な実験が必要である。また、空隙率が0.1以下の場合の検討がなされなければならない。

実験にあたり御協力を頂いた元学

部学生、水田雄治君へ謝意を表す。

参考文献 1) 枝松：多孔式防波堤の水理特性、第18回海岸工学講演会論文集、pp.115-120, 1971.

2) 榎本・岩田：多孔壁式消波構造物の水理特性に関する二、三の考察、工学会論文報告集、No.220, pp.53-63, 1973.

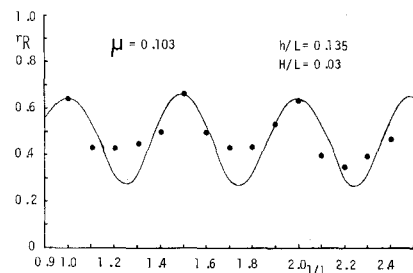


図-7 R_f と k_1/L との関係

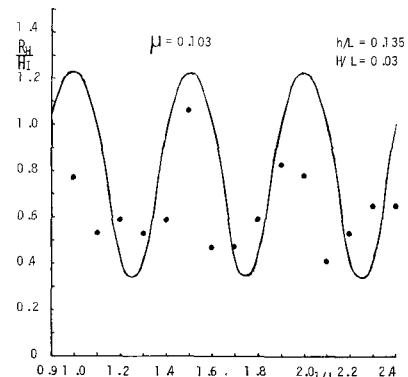


図-8 H_2/H_1 と k_1/L との関係

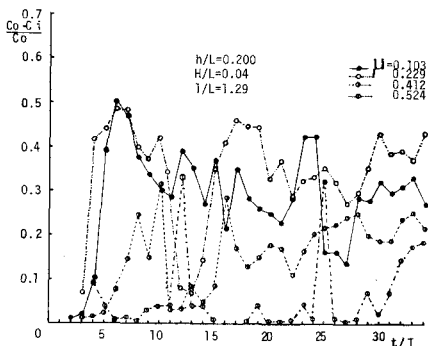


図-9 港内の濃度の時間変化

